

เสถียรภาพและการเคลื่อนตัวด้านข้างของдинบวเวนคลิ่งท้ายเขื่อนทดน้ำบางปะกง
ในกรณีลดระดับน้ำอย่างรวดเร็ว

นายแสงอรุณ เก้าอี้น

ศูนย์วิทยทรัพยากร
จุฬาลงกรณ์มหาวิทยาลัย
วิทยานินพนธ์นี้เป็นส่วนหนึ่งของการศึกษาตามหลักสูตรปริญญาวิศวกรรมศาสตรมหาบัณฑิต
สาขาวิชาชีวกรรมโยธา ภาควิชาชีวกรรมโยธา
คณะวิศวกรรมศาสตร์ จุฬาลงกรณ์มหาวิทยาลัย
ปีการศึกษา 2546
ISBN 974-17-4329-7
ลิขสิทธิ์ของจุฬาลงกรณ์มหาวิทยาลัย

เสถียรภาพและการเคลื่อนตัวด้านข้างของдинบวณฑิติ่งท้ายเขื่อนทดน้ำบางปะกง
ในกรณีดังน้ำอ่าวยรวดเร็ว

นายแสงอรุณ เก้าเอี้ยน

ศูนย์วิทยทรัพยากร จุดลงกรณ์มหาวิทยาลัย

วิทยานิพนธ์นี้เป็นส่วนหนึ่งของการศึกษาตามหลักสูตรปริญญาวิศวกรรมศาสตรมหาบัณฑิต

สาขาวิชาวิศวกรรมโยธา ภาควิชาวิศวกรรมโยธา

คณะวิศวกรรมศาสตร์ จุฬาลงกรณ์มหาวิทยาลัย

ปีการศึกษา 2546

ISBN 974-17-4329-7

ลิขสิทธิ์ของจุฬาลงกรณ์มหาวิทยาลัย

STABILITY AND LATERAL DEFORMATION OF SOIL ON RIVERBANK OF DOWNSTREAM
BANGPAKONG DIVERSION DAM FOR CASE OF RAPID DRAWDOWN

Mr. Saengarun Khaowaian

ศูนย์วิทยบรังษยการ
จุฬาลงกรณ์มหาวิทยาลัย

A Thesis Submitted in Partial Fulfillment of the Requirements
for the Degree of Master of Engineering in Civil Engineering

Department of Civil Engineering

Faculty of Engineering

Chulalongkorn University

Academic Year 2003

ISBN 974-17-4329-7

หัวข้อวิทยานิพนธ์ เสถียรภาพและการเคลื่อนตัวด้านข้างของคินบริเวณคลิงท้ายเขื่อนทดน้ำ
โดย นางแสงอรุณ เก้าอี้ยน
สาขาวิชา วิศวกรรมโยธา
อาจารย์ที่ปรึกษา รองศาสตราจารย์ ดร. วันชัย เทพรักษ์

คณะกรรมการคุณวิศวกรรมศาสตร์ จุฬาลงกรณ์มหาวิทยาลัย อนุมัติให้นับวิทยานิพนธ์ฉบับนี้เป็น^๒
ส่วนหนึ่งของการศึกษาตามหลักสูตรปริญญามหาบัณฑิต

..... คณบดีคุณวิศวกรรมศาสตร์
(ศาสตราจารย์ ดร.ดิเรก ลาวัณย์ศิริ)

คณะกรรมการสอบวิทยานิพนธ์

..... ประธานกรรมการ
(ผู้ช่วยศาสตราจารย์ ดร.สุรนัตร ตั้มพันธารักษ์)

..... อาจารย์ที่ปรึกษา
(รองศาสตราจารย์ ดร.วันชัย เทพรักษ์)

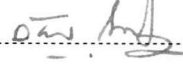
..... กรรมการ
(อาจารย์ ดร. จิรวัตร บุญญาภิเษก)

แสงอรุณ เก้าอี้ยน : เสถียรภาพและการเคลื่อนตัวด้านข้างของดินบริเวณคลังห้ายื่อนทกด้านบางปะกง ในกรณีลดระดับน้ำอย่างรวดเร็ว (STABILITY AND LATERAL DEFORMATION OF SOIL ON RIVERBANK OF DOWNSTREAM BANGPAKONG DIVERSION DAM FOR CASE OF RAPID DRAWDOWN) อ. ที่ปรึกษา: รศ. ดร. วันชัย เทพรักษ์, 162 หน้า, ISBN 974-17-4329-7

การวิจัยนี้ ทำการรวบรวมข้อมูลดินและสภาพคลังห้ายื่อนทกด้านบางปะกงที่เกิดการพังทลายหลังจากการปิดประตูระบายน้ำเขื่อนทกด้านบางปะกง เพื่อศึกษาคุณสมบัติทางวิศวกรรมของดินและสาเหตุการพังทลายตลอดจนวิเคราะห์เสถียรภาพและการเคลื่อนตัวด้านข้างของคลังห้ายื่นเพื่อหาค่าพารามิเตอร์ (Eu/Su) ที่เหมาะสมเพื่อใช้ประเมินการเคลื่อนตัวของดิน และหาความสัมพันธ์ระหว่าง ปริมาณการเคลื่อนตัวของดิน กับ อัตราส่วนความปลดภัยต่ำสุดของคลังห้ายื่น

ผลการศึกษาพบว่า ลักษณะของชั้นดินประกอบด้วย ชั้นดินเหนียวอ่อนมาก ชั้นบนหนาประมาณ 6 เมตร มีปริมาณน้ำในดินสูงกว่า 100 % อุ่มน้ำได้ดี ทำให้แรงดันของน้ำในดินสูงอยู่ตลอดเวลา แม่น้ำบางปะกงอยู่ติดกับทะเล ได้รับอิทธิพลของน้ำขึ้นน้ำลง การพังทลายของคลังห้ายื่นเฉพาะในชั้นดินเหนียวอ่อนมากหนา 6 เมตร โดยเกิดจากการลดลงของระดับน้ำอย่างรวดเร็ว เนื่องจากการปิดประตูระบายน้ำทันทีทันใด ส่งผลให้เกิดแรงดันน้ำในมวลดินไหลย้อนกลับ ตลอดจนเนื่องจากความกดเคี้ยวของด่าน้ำก่อให้เกิดการกัดเซาะ ทำให้คลังหัญช์

ผลการวิเคราะห์เสถียรภาพของคลังหัญช์โดยทฤษฎี Simplified Bishop และการเคลื่อนตัวของดินด้วยวิธี ไฟไนท์อิลิเมน์ พบว่า ค่าความสัมพันธ์ระหว่าง Young Modulus และ กำลังรับแรงเฉือนของดิน (Eu/Su) ที่เหมาะสม มีค่าเท่ากับ 60 และ 120 สำหรับดินเหนียวอ่อนมากและดินเหนียวอ่อนตามลำดับ โดยค่า Eu/Su ตั้งกล่าวสอดคล้องกับสภาพการพังทลายของคลังหัญช์ที่เกิดขึ้นจริงภายหลังจากการปิดประตูระบายน้ำเขื่อนบางปะกง ความสัมพันธ์ระหว่าง การเคลื่อนตัวของดินในแนวราบของคลังหัญช์ (δ_h , เมตร) กับ อัตราส่วนปลดภัยต่ำสุด (SF) คือ $\delta_h = 0.5342 SF^{-4.5908}$ สำหรับ $SF < 1.3$ และ $\delta_h = 0.4678 SF^{-2.6448}$ สำหรับ $SF \geq 1.3$ ตามลำดับ

ภาควิชา.....	วิศวกรรมโยธา.....	ลายมือชื่อนิสิต.....	1120012 1191022.
สาขาวิชา.....	วิศวกรรมโยธา.....	ลายมือชื่ออาจารย์ที่ปรึกษา.....	
ปีการศึกษา.....	2546.....		

4470623021: MAJOR CIVIL ENGINEERING

KEY WORD: STABILITY / DEFORMATION / RAPID DRAWDOWN / BANGPAKONG

SAENGARUN KHAOWAIAN: STABILITY AND LATERAL DEFORMATION OF SOIL ON RIVERBANK OF DOWNSTREAM BANGPAKONG DIVERSION DAM FOR CASE OF RAPID DRAWDOWN. THESIS ADVISOR: ASSOC. PROF.WANCHAI TEPARAKSA, D.Eng., 162 pp. ISBN 974-17-4329-7

This research aims to study engineering properties of soil and the cause of failures along the bank of Bangpakong river in the downstream area of Bangpakong diversion dam. The soil data as well as failure condition of riverbank were investigated. The appropriate parameters (Eu/Su) is also proposed for predicting of soil displacement of riverbank related to critical safety factor of riverbank.

The result showed that the soil condition consists of 6 m. thick very soft clay having high water contents over than 100 % with high order of excess pore pressure ratio. The Bangpakong river is closed to the sea and having tidal effect. The failure of riverbank was induced in the very soft clay layer of 6 m. thick. The failure of riverbank was caused by rapid drawdown effect due to the sudden shutting down of the gate of Bangpakong diversion dam. The erosion effect due to the curvature of the river was also created the steep slope of riverbank.

The result of stability analysis of the riverbank based on Simplified Bishop theory and Finite Element Method (FEM) analysis for predicting soil displacement showed that the appropriated ratio of Young Modulus and undrained shear strength of soil (Eu/Su) is in the order of 60 and 120 for very soft clay and soft clay, respectively. This Eu/Su value agrees with the failure performance of riverbank. The relationship between lateral soil displacement of riverbank (δ_h , meter) and minimum safety factor (SF) is $\delta_h = 0.5342 SF^{-4.5908}$ for $SF < 1.3$ and $\delta_h = 0.4678 SF^{-2.6448}$ for $SF \geq 1.3$, respectively.

Department Civil Engineering

Student's signature *Saengarun Khaowanian.*

Field of study Civil Engineering

Advisor's signature *Wanchai Teparksa*

Academic year 2003

กิตติกรรมประกาศ

การศึกษาในหัวข้อวิทยานิพนธ์นี้สามารถสำเร็จลงได้ ต้องขอกราบขอบพระคุณ ความเอาใจใส่ของบิดา มารดา และครอบครัว ที่ช่วยเหลือทั้งแรงกาย แรงใจ ทุนทรัพย์ และความ ห่วงใยเสมอมา

ขอขอบพระคุณ รศ.ดร.วันชัย เทพรักษ์ อารยธรรมที่ปรึกษา ที่ให้โอกาสในการทำ วิทยานิพนธ์ พร้อมทั้งให้ความรู้ คำแนะนำ และให้คำปรึกษา ในปัญหาต่าง ๆ ที่เกิดขึ้นอย่างมากมาย ในการปฏิบัติงาน จนสามารถจัดทำวิทยานิพนธ์ฉบับนี้ได้สำเร็จลุล่วง

ขอขอบพระคุณ คณะกรรมการสอบวิทยานิพนธ์ทุกท่าน ที่กรุณาสละเวลา และ ให้คำแนะนำ รวมทั้งให้ข้อคิดที่เป็นประโยชน์ ในการจัดทำวิทยานิพนธ์

ขอขอบพระคุณ เจ้าหน้าที่ห้องวิจัยปฐพีกศาสตร์ ทุกท่าน ที่ให้ความร่วมมือ และให้ความช่วยเหลือในการวิจัย ซึ่งต้องใช้ทั้งอุปกรณ์ และสถานที่ ในการปฏิบัติงาน จนงาน สำเร็จได้ด้วยดี

ขอขอบพระคุณ บริษัท โปรเกรสเทค โนโลยีคอนซัลแทนส์ จำกัด ที่อำนวยความ สะดวกในการศึกษาและเก็บข้อมูล ณ สถานที่ก่อสร้าง จนสำเร็จลุล่วงได้ด้วยดี

และสุดท้ายนี้ ขอขอบคุณ รุ่นพี่ และเพื่อนๆทุกท่าน ในความเป็นเพื่อนร่วมงาน ในความช่วยเหลือ ในการเป็นผู้รับฟัง และให้คำแนะนำดี ๆ เสนอมา รวมทั้งผู้ที่ไม่ได้อยู่ถึงในที่นี่ ที่มีส่วนร่วมในวิทยานิพนธ์ฉบับนี้ ผู้จัดทำวิทยานิพนธ์ ขอขอบคุณทุกท่านเป็นอย่างยิ่ง

**ศูนย์วิทยทรัพยากร
จุฬาลงกรณ์มหาวิทยาลัย**

สารบัญ

หน้า

บทคัดย่อภาษาไทย.....	๑
บทคัดย่อภาษาอังกฤษ.....	๒
กิตติกรรมประกาศ	๓
สารบัญ.....	๔
สารบัญตาราง.....	๕
สารบัญภาพ.....	๖
คำอธิบายสัญลักษณ์และคำย่อ.....	๗

บทที่

บทที่ ๑ บทนำ.....	๑
1.1 ความเป็นมาและความสำคัญของปัญหา.....	๑
1.2 วัตถุประสงค์ของการวิจัย	๔
1.3 ขอบเขตของการวิจัย.....	๔
1.4 ประโยชน์ที่คาดว่าจะได้รับจากการวิจัย	๔

บทที่ ๒ ทฤษฎีการวิเคราะห์และผลงานในอดีตที่เกี่ยวข้อง

2.1 ทฤษฎีที่เกี่ยวกับการวิเคราะห์ปัญหาเสถียรภาพ	๕
2.2 แนวความคิดพื้นฐานเกี่ยวกับการวิเคราะห์ปัญหาเสถียรภาพ	๖
2.2.1 ข้อจำกัดทางด้านสมดุลย์ [Limiting Equilibrium]	๖
2.3 หลักการในการวิเคราะห์ปัญหาเสถียรภาพของคันดิน [Method of Stability Analysis]	๘
2.3.1 วิธีหน่วยแรงรวม [Total Stress Analysis].....	๑๐
2.3.2 วิธีหน่วยแรงประสิทธิผล [Effective Stress Analysis]	๑๐
2.4 คันดินธรรมชาติ [Natural Slope]	๑๑
2.5 ค่ากำลังรับแรงเฉือนของดิน [Shear Strength].....	๑๓
2.5.1 การทดสอบในสนาม [Field Test].....	๑๓
2.5.2 การทดสอบในห้องทดลอง (Laboratory Test).....	๑๓
2.5.3 กำลังแรงเฉือนแบบไม่ระบายน้ำของคันดิน.....	๑๔
2.5.4 การเลือกค่าแรงเฉือนแบบไม่ระบายน้ำในการวิเคราะห์	๑๕
2.5.4.1 การใช้ข้อมูลจากการทดลอง	๑๕

สารบัญ(ต่อ)

หน้า

2.5.4.2 การใช้ข้อมูลจากการทดลองในสนาม.....	16
2.6 แรงคันน้ำในโพรงดิน (Pore Water Pressure)	16
2.6.1 กรณี Steady Seepage.....	16
2.6.2 Rapid Drawdown.....	17
2.6.3 Artesian Pressure.....	19
2.7 สาเหตุการวิบัติของคันคินธรรมชาติ	19
2.8 ชนิดของการเคลื่อนตัวของคันคิน	22
2.9 การวิเคราะห์เสถียรภาพของเชิงลาด (Slope Stability Analysis)	23
2.9.1 วิธี Fellenius (1927) หรือ วิธี Swedish, Ordinary Method of Slice.....	25
2.9.2 วิธี Simplified Bishop Method of Slice (1955).....	26
2.10 การคาดคะเนการเคลื่อนตัวด้านข้างของคลื่ง	27
2.10.1 คำนวณทั่วไปของ Stress และ Strain	28
2.10.1.1 Elastic strain.....	29
2.10.2 การวิเคราะห์แบบหน่วยแรงรวม โดยใช้พารามิเตอร์แบบหน่วยแรงประสิทธิผล (Undrained Analysis with Effective Stress Parameters)	29
2.10.3 การวิเคราะห์แบบหน่วยแรงรวม โดยใช้พารามิเตอร์แบบหน่วยแรงรวม (Undrained Analysis with Total Stress Parameters).....	29
2.10.4 แบบจำลองของ Mohr-Coulomb.....	30
 บทที่ 3 การดำเนินการวิจัย	32
3.1 คุณสมบัติทางวิศวกรรมของดิน	32
3.1.1 การเจาะสำรวจดิน (Soil Exploration).....	32
3.1.2 การทดสอบในสนาม (In-situ Test)	34
3.1.2.1 การทดสอบแรงเฉือนดินในสนาม (Field Vane Shear Test, FV)	35
3.1.2.2 การทดสอบการตอกกมารฐาน (Standard Penetration Test, SPT)	35
3.1.2.3 การวัดระดับน้ำใต้ดิน (Piezometer).....	35
3.1.3 การทดสอบในห้องปฏิบัติการ (Laboratory Testing).....	35
3.1.3.1 การทดสอบคุณสมบัติขันพื้นฐาน.....	35
3.1.3.2 การทดสอบหาคุณสมบัติทางด้านวิศวกรรม.....	35

สารบัญ(ต่อ)

หน้า

3.1.3.2.1 การทดสอบการอัดตัวแบบอิสระ (Unconfined Compression Test, UC)	36
3.1.3.2.2 การทดสอบไตรแอคเซียล (Triaxial Test)	36
3.1.3.2.2.1 การจัดตัวอย่างเข้าที่ทดสอบ (Set-up of Specimen)	36
3.1.3.2.2.2 การทำให้ตัวอย่างอยู่ในสภาพอิ่มตัวด้วยน้ำ (Saturation of Specimen)	38
3.1.3.2.2.3 การอัดตัวภายใต้แรงไฮโลโซ (Isotropic Consolidation).....	38
3.1.3.2.2.3 การเพิ่มแรงเนื้อง�체ร์ฟทำตัวอย่าง.....	39
3.2 การดำเนินการทดสอบในห้องปฏิบัติการ	39
3.3 การศึกษาด้านการพังทลายของตลิ่ง.....	40
3.4 การดำเนินการวิเคราะห์เสถียรภาพและการเคลื่อนตัวด้านข้างของตลิ่ง	41
3.4.1 การรวบรวมข้อมูลชั้นดิน ตำแหน่ง และรูปตัดสำหรับบริเวณที่มีการพังทลายของตลิ่ง	41
3.4.2 การวิเคราะห์เสถียรภาพของตลิ่งโดยวิธีการพังทลายในรูปวงกลม (Circular Failure)	41
3.4.3 การวิเคราะห์เสถียรภาพและการเคลื่อนตัวด้านข้างของตลิ่ง โดยวิธี (Finite Element Method, FEM)	41
 บทที่ 4 ผลการทดสอบและการวิเคราะห์	 42
4.1 ผลการศึกษาคุณสมบัติทางวิศวกรรมของดินบริเวณท้ายเขื่อนทดน้ำบางปะกง	42
4.1.1 ผลการศึกษาคุณสมบัติขั้นพื้นฐานของดิน	42
4.1.2 ผลการศึกษาคุณสมบัติด้านวิศวกรรม	44
4.1.2.1 ผลการศึกษาคุณสมบัติด้านกำลังรับแรงเฉือนของดินที่ทดสอบในสนาม	44
4.1.2.1.1 ผลการศึกษาคุณสมบัติด้านกำลังรับแรงเฉือนของดินที่ได้จากการทดสอบแรงเฉือนในสนาม (Field Vane Shear Strength, S_u_{FV})	44
4.1.2.1.2 ผลการศึกษาคุณสมบัติดินที่ได้จากการทดสอบ Standard Penetration Test, SPT	45
4.1.2.2 ผลการศึกษาคุณสมบัติด้านกำลังรับแรงเฉือนของดินที่ทดสอบในห้องปฏิบัติการ	45

สารบัญ(ต่อ)

หน้า

4.1.2.2.1 ผลการศึกษาคุณสมบัติด้านกำลังรับแรงเฉือนของดินที่ได้จากการทดสอบการอัดตัวแบบอิสระ (Unconfined Compression Test, UC).....	45
4.1.3 ผลการวัดระดับน้ำใต้ดิน (Piezometer)	45
4.2 ผลการทดลองคุณสมบัติทางวิศวกรรมของดินในห้องปฏิบัติการบริเวณท้ายเขื่อนทดน้ำ บางปะกง	50
4.3 ผลการศึกษาด้านการพังทลายของตลิ่ง.....	51
4.3.1 ลักษณะทางธรณีวิทยาและปัจจัยที่ทำให้เกิดการพังทลายของตลิ่งในพื้นที่โครงการ	55
4.3.1.1 การพังทลายตามธรรมชาติ	58
4.3.1.1.1 การเปลี่ยนแปลงระดับน้ำ.....	59
4.3.1.1.2 ความลากชันของตลิ่งและสภาพของลิ่งก่อสร้างเพื่อบังกันตลิ่งที่มีอยู่	61
4.3.1.1.2.1 การเปลี่ยนแปลงความชันของตลิ่งตามธรรมชาติ	61
4.3.1.1.2.2 การเปลี่ยนแปลงจากความชันของตลิ่งจากการกระทำของมนุษย์	63
4.3.1.2 การพังทลายเนื่องจากการปิด-เปิดประตูระบายน้ำ.....	64
4.3.1.2.1 ทางด้านชลศาสตร์	64
4.3.1.2.2 การลดลงของระดับน้ำทันทีทันใด (Rapid Drawdown)	64
4.4 ผลการวิเคราะห์เสถียรภาพและการเคลื่อนตัวด้านข้างของตลิ่ง.....	66
4.4.1 ผลการรวบรวมข้อมูลชั้นดินตำแหน่งและรูปตัดล้ำนำของบริเวณที่มีการพังทลาย ของตลิ่ง.....	66
4.4.2 ผลการวิเคราะห์เสถียรภาพของตลิ่งโดยวิธีการพังทลายในรูปวงกลม (Circular Failure)	67
4.4.3 ผลการวิเคราะห์เสถียรภาพและการเคลื่อนตัวด้านข้างของตลิ่งโดยวิธี Finite Element Method (FEM)	69
4.4.3.1 แนวทางในการวิเคราะห์.....	69
4.4.3.2 ค่าพารามิเตอร์ของดินและตัวแปรอื่นที่เกี่ยวข้อง	70
4.4.3.2.1 กำลังรับแรงเฉือนของดิน (Undrained Shear Strength).....	70
4.4.3.2.2 สัมประสิทธิ์แรงดันด้านข้างแบบสติต.....	71
4.4.3.2.3 ค่าโมดูลัสของดิน(Soil Modulus).....	72

สารบัญ(ต่อ)

หน้า

4.4.4 สรุปผลการวิเคราะห์เสถียรภาพและการเคลื่อนตัวด้านข้างก่อนการพังทลายและ หลังการพังทลายของคลึงหั้ง 5 ตำแหน่ง บริเวณท้ายเขื่อนทดน้ำบางปะกง	73
บทที่ 5 สรุปผลการวิจัยและข้อเสนอแนะ	77
5.1 สรุปผลการวิจัย	77
5.1.1 การพังทลายของคลึงแม่น้ำบางปะกง.....	77
5.1.2 เสถียรภาพและการเคลื่อนตัวด้านข้างของคลึง.....	77
5.2 ข้อเสนอแนะ	78
รายการอ้างอิง	79
ภาคผนวก	83
ภาคผนวก ก รายละเอียดของแผนผังแสดงตำแหน่งของหลุมเจาะสำรวจ การทดสอบแรง เฉือนในسانาม และการติดตั้ง Standpipe Piezometer บริเวณท้ายเขื่อนทดน้ำ บางปะกง.....	84
ภาคผนวก ข แสดงลักษณะและค่าคุณสมบัติของชั้นดินของหลุมเจาะแต่ละหลุมของคลึง บริเวณท้ายเขื่อนทดน้ำบางปะกง.....	94
ภาคผนวก ค ตำแหน่งของรูปตัดคลึงบริเวณท้ายเขื่อนทดน้ำบางปะกง.....	117
ภาคผนวก ง รูปร่างหน้าตัดหั้งก่อนและหลังการพังทลายของคลึงบริเวณท้ายเขื่อนทดน้ำบาง ปะกง	123
ภาคผนวก จ ผลการวิเคราะห์เสถียรภาพโดยวิธีการพังทลายในรูปวงกลม (Circular Failure) ของคลึงบริเวณท้ายเขื่อนทดน้ำบางปะกง	129
ภาคผนวก ฉ ผลการวิเคราะห์เสถียรภาพและการเคลื่อนตัวโดยวิธี Finite Element Method (FEM) ของคลึงบริเวณท้ายเขื่อนทดน้ำบางปะกง	135
ภาคผนวก ช ความสัมพันธ์ระหว่างอัตราส่วนปลอดภัยต่ำสุด (Critical Factor of Safety, FS) กับ การเคลื่อนตัว (Displacement) บริเวณคลึงหั้งท้ายเขื่อนทดน้ำบางปะกงทดน้ำ บางปะกง.....	156
ประวัติผู้เขียนวิทยานิพนธ์	162

สารบัญตาราง

	หน้า
ตาราง	หน้า
2.1 การเลือกตัวประกอบที่ใช้ในการวิเคราะห์เสถียรภาพ (Lambe, 1987).....	9
3.1 ตัวอย่างคินที่ทดสอบในห้องปฏิบัติการทางด้านคุณสมบัติขึ้นพื้นฐานและคุณสมบัติ ด้านวิศวกรรมของคิน.....	40
4.1 คุณสมบัติขึ้นพื้นฐานของลักษณะชั้นคินในแต่ละชั้น.....	43
4.2 คุณสมบัติด้านวิศวกรรมของลักษณะชั้นคินในแต่ละชั้น.....	46
4.3 คุณสมบัติพื้นฐานและคุณสมบัติทางด้านวิศวกรรมของคินของแต่ละตัวอย่างคิน	51
4.4 แสดงความแตกต่างของผลการทดลองคุณสมบัติทางด้านวิศวกรรมของคิน.....	52
4.5 ตำแหน่งและรูปตัดของตัวอย่างที่สามารถจะนำไปใช้ในการวิเคราะห์เพื่อหาเสถียรภาพ และการเคลื่อนตัวของตั้ง 5 ตำแหน่ง.....	66
4.6 ลักษณะชั้นคิน ค่าพารามิเตอร์และคุณสมบัติของคินที่นำมาใช้ในการวิเคราะห์	67
4.7 ผลการวิเคราะห์เสถียรภาพก่อนการพังทลายและการหลังการพังทลายของตั้งทั้ง 5 ตำแหน่ง โดยวิธีการพังทลายในรูปวงกลม (Circular Failure).....	69
4.8 ผลการวิเคราะห์เสถียรภาพและการเคลื่อนตัวด้านข้างก่อนการพังทลายและการหลังการ พังทลายของตั้งทั้ง 5 ตำแหน่ง โดยวิธี Finite Element Method (FEM).....	73
4.9 ผลการวิเคราะห์เสถียรภาพและการเคลื่อนตัวทั้งก่อนและหลังการพังทลาย บริเวณท้าย เข็มทคน้ำบางปะกง.....	74

ศูนย์วิทยทรัพยากร
จุฬาลงกรณ์มหาวิทยาลัย

สารบัญภาพ

ภาพประกอบ	หน้า
1.1 โครงการเขื่อนทคน้ำบางปะกง	1
1.2 แผนที่แสดงบริเวณพื้นที่ที่มีตลิ่งพังทลายท้ายเขื่อนทคน้ำบางปะกง	3
2.1 ความสัมพันธ์ระหว่างค่ากำลังรับแรงเฉือนกับการเคลื่อนตัว เมื่อเปรียบเทียบที่หน่วยแรงประดิษฐ์ผลในแนวตั้งเดียวกัน (Skempton, 1985)	14
2.2 แสดงหน่วยแรงที่เกิดขึ้นสำหรับการพินบัดของปั๊มหาเสถียรภาพ ในกรณีรอยผิวการพินบัดเป็นรูปลิ่ม หรือ ส่วนโถ้ง (Ladd and Koutsoftas, 1985, Lass and Foott, 1974)	15
2.3 การคำนวณปั๊มหาเสถียรภาพ ในกรณีมีการไหลแบบ steady seepage (Hough, 1957)	18
2.4 การหาความดันน้ำในโพรงดิน สำหรับการไหลแบบ steady seepage ในทิศทางขนานกับความลาด (Lambe, 1979)	19
2.5 สมมุติฐานการหาแรงดันน้ำในโพรงดิน ในกรณี Repid draw (Hough, 1957)	20
2.6 การวินบัดของดินเหนียวแบบ Mass movement และ Multiple complex landslide (Chodhyry, 1978).....	23
2.7 รูปแบบลักษณะการวินบัดของเชิงลาด (Mode of Failure).....	24
2.8 ลักษณะการวินบัดของเชิงลาด แบบส่วน โถ้งของวงกลม	24
2.9 ระบบของแรงกระทำต่อมวลดินทั้งหมดในแต่ละส่วน [Lambe, 1979]	25
2.10 ระบบแรงกระทำต่อมวลดินในแต่ละส่วน (Slice).....	26
2.11 ระบบแรงกระทำต่อมวลดินในแต่ละชิ้น (Slice).....	27
2.12 แสดง Node และ Stress Point	27
2.13 แสดงระบบพิกัดและทิศทางในสามมิติ	28
2.14 พื้นฐานแบบจำลอง Elastic Perfectly Plastic	31
2.15 Yield surface ของ Mohr – coulomb ในระบบของหน่วยแรงหลัก ($c=0$).....	31
3.1 ตำแหน่งของหลุมเจาะสำรวจ การทดสอบแรงเฉือนในสนามและการติดตั้ง Standpipe Piezometer ทั้งหมด	34
3.2 เครื่องทดสอบไตรแอกซิล	37
4.1 ลักษณะชั้นดินบริเวณตลิ่งท้ายเขื่อนทคน้ำบางปะกงตามข่าวของแม่น้ำบางปะกง	43
4.2 ความสัมพันธ์ระหว่างปริมาณความชื้น กับ ความลึกที่ต่ำกว่าผิวดิน	44
4.3 ความสัมพันธ์ระหว่างหน่วยน้ำหนัก กับ ความลึกที่ต่ำกว่าผิวดิน	44

สารบัญภาพ (ต่อ)

ภาคประกอบ	หน้า
4.4 ความสัมพันธ์ระหว่างกำลังรับแรงเฉือนแบบไม่ถูกรบกวนและแบบถูกรบกวน กับ ความลึกที่ตื้อกว่าผิวดิน	45
4.5 ความสัมพันธ์ระหว่าง SPT N Value กับ ความลึกที่ตื้อกว่าผิวดิน	46
4.6 ความสัมพันธ์ระหว่างกำลังรับแรงเฉือน กับ ความลึกที่ตื้อกว่าผิวดิน	46
4.7 คุณสมบัติของชั้นดินของหลุมเจาะบริเวณตลิ่งท้ายเขื่อนทคน้ำบางปะกงตามข่าวของ แม่น้ำบางปะกง.....	47
4.8 ความสัมพันธ์ระหว่างระดับน้ำและแรงดันน้ำ กับ เวลา บริเวณตลิ่งไก่ล้วดสัมประทวน..	48
4.9 ความสัมพันธ์ระหว่างแรงดันน้ำส่วนเกิน กับ เวลา บริเวณตลิ่งไก่ล้วดสัมประทวน.....	48
4.10 ความสัมพันธ์ระหว่างระดับน้ำและแรงดันน้ำ กับ เวลา บริเวณตลิ่งหน้าจวนผู้ว่าฯ ราชการจังหวัดฉะเชิงเทรา	49
4.11 ความสัมพันธ์ระหว่างแรงดันน้ำส่วนเกิน กับ เวลา บริเวณตลิ่งหน้าจวนผู้ว่าฯราชการ จังหวัดฉะเชิงเทรา	49
4.12 ความสัมพันธ์ระหว่าง กำลังรับแรงเฉือน กับ ความลึกที่ตื้อกว่าผิวดิน	53
4.13 ความสัมพันธ์ระหว่าง อัตราส่วนโมดูลัสของดินแบบไม่ระบายน้ำ ต่อ กำลังรับแรง เฉือนแบบการอัดตัวคลายน้ำในสภาพไม่ระบายน้ำ กับ ความลึกที่ตื้อกว่าผิวดิน	53
4.14 ความสัมพันธ์ระหว่าง โมดูลัสของดินแบบการอัดตัวคลายน้ำในสภาพไม่ระบายน้ำ กับ ความเครียด.....	54
4.15 ความสัมพันธ์ระหว่าง อัตราส่วนโมดูลัสของดินแบบไม่ระบายน้ำ ต่อ กำลังรับแรง เฉือนแบบการอัดตัวคลายน้ำในสภาพไม่ระบายน้ำ กับ ความเครียด	54
4.16 ข้อมูลระดับน้ำระหว่างวันที่ 26-27 สิงหาคม 2542	55
4.17 แผนที่แสดงบริเวณพื้นที่ที่มีตลิ่งพังทลายท้ายเขื่อนทคน้ำบางปะกง	56
4.18 รูปแสดงส่วนหนึ่งของบริเวณที่ตลิ่งพังทลายหลังจากทดสอบปิดประตูระบายน้ำ ระหว่างวันที่ 26-27 สิงหาคม 2542	57
4.19 รูปแสดงตลิ่งหน้าจวนผู้ว่าราชการจังหวัดฉะเชิงเทราที่พังทลายหลังการทดลองปิดประตู ระบายน้ำวันที่ 6 มกราคม 2543.....	58
4.20 ลักษณะการขึ้นลงในแม่น้ำบางปะกงในกรณีปกติ	59
4.21 การพังทลายของตลิ่งที่เกิดขึ้นตามธรรมชาติ ในกรณีไม่มีการเปิดดำเนินการเขื่อน โดย 2 รูปบน เป็นการพังทลายในปี 2539 ก่อนสร้างเขื่อน รูปที่ 3 เป็นการพังทลายในปี 2544 ช่วงที่ไม่มีการปิดเปิดเขื่อน	60

สารบัญภาพ (ต่อ)

ภาพประกอบ	หน้า
4.22 ตัวอย่างลักษณะของคลื่นริมแม่น้ำบางปะกงในสภาพปัจจุบัน	61
4.23 Velocity Profile ของลำน้ำบริเวณโถงวัดแหลมใต้	62
4.24 รูปดังลามน้ำในบริเวณที่โถงของลำน้ำ	62
4.25 การปรับสภาพลิ่งและสร้างโครงสร้างป้องกันคลื่นตลอด 2 ฝั่งแม่น้ำบางปะกง	63
4.26 แสดงระดับน้ำสูงสุดและต่ำสุดที่ตำแหน่งต่างๆ ทั้งกรณีเปิด坝และระหว่างปิด坝 ^{บาน} ประตระษายน้ำ	64
4.27 ลักษณะการเกิด RAPID DRAWDOWN	65
4.28 แสดงความสัมพันธ์ระหว่างค่าคงที่ m กับ PI ของคินเนนิก (Ladd et al.1977)	71
4.29 ความสัมพันธ์ระหว่างอัตราส่วนปลอดภัยต่ำสุด (Critical Factor of Safety, FS) กับการเคลื่อนตัว (Displacement) บริเวณคลื่นท้ายเขื่อนทคน้ำบางปะกง	76

**ศูนย์วิทยทรัพยากร
จุฬาลงกรณ์มหาวิทยาลัย**

ສัญลักษณ์

A,B	=	Pore pressure Parameter
A_c	=	พื้นที่หน้าตัดของตัวอย่างภายหลังการอัดตัวอย่าง
A_f	=	พารามิเตอร์ของแรงดันน้ำภายในโครงดินที่จุดพิบัติ
B	=	Average width of Slide mass
C	=	ความเชื่อมแน่นของดิน
CR	=	Compression ratio
C_v	=	Coefficient of Permeability
D	=	Average depth of Slide mass
DB	=	Deep Boring
E_u	=	โมดูลัสของดินแบบไม่ระบายน้ำ
$E_{u(50)}$	=	โมดูลัสของดินแบบไม่ระบายน้ำที่ 50 % ของหน่วยแรงเฉือน
$E_{u(100)}$	=	โมดูลัสของดินแบบไม่ระบายน้ำที่ 100 % ของหน่วยแรงเฉือน
F	=	อัตราส่วนปลดภัย
FS	=	อัตราส่วนความปลอดภัย
FV	=	Field Vane
H	=	ความสูงของใบมีด
K	=	Earth pressive coefficient
K_h	=	สัมประสิทธิ์ความซึมผ่านได้ในแนวราบ
K_u	=	Undrained strength in Extension to compression
K_v	=	สัมประสิทธิ์ความซึมผ่านได้ในแนวตั้ง
LI	=	ดัชนีความเหลว (Liquidity Index)
LL	=	Liquid Limit
L_o	=	ความสูงของตัวอย่างก่อนการทดสอบ
L_i	=	น้ำหนักสำหรับกดบนตัวอย่างเพื่ออัดตัวอย่าง
MSL	=	Mean Sea Level
NCC	=	Normally Consolidated

N_k	=	Empirical Cone factor
N-Valve	=	Standard Penetration Resistance
OCR	=	Overconsolidation ratio
OC	=	Overconsolidated
OEPP	=	สำนักนโยบายและแผนสิ่งแวดล้อม [Office of Environmental Policy and Planing]
PL	=	Plastic Limit
PI%	=	ดัชนีพลาสติกซิตี้
R	=	Correlation factor
RID	=	กรมชลประทาน [Royal Irrigation Department]
RPP	=	Rigid Perfectly Plastic Material
RR	=	Recompression ratio
r_u	=	อัตราส่วนแรงดันน้ำในโพรงคินต่อหนักของคิน
S	=	กำลังแรงรับเฉือนของคิน
S_u	=	กำลังแรงรับเฉือนแบบไม่ระบายน้ำ
$S_{u_{cu}}$	=	กำลังรับแรงเฉือนแบบกดที่ถูกอัดตัวภายในสภาพไม่ระบายน้ำ
$S_{u_{FV}}$	=	กำลังรับแรงเฉือนของคินในสนาม
$S_{u_{uc}}$	=	กำลังรับแรงเฉือนแบบการอัดตัวอิสระ
T	=	Torque
t_f	=	เวลาที่ใช้ในการพิบัติ
V_o	=	ปริมาณตัวอย่างก่อนการทดสอบ
Wc %	=	ปริมาณความชื้น
e_{av}	=	Average of Void Ratio
Δu	=	แรงดันน้ำในโพรงคิน
q_c	=	Cone Resistance
q_u	=	Unconfined Compressive envelope

α	= การลาดชันของ Failure envelope
ΔL_c	= ค่าการยุบตัวของตัวอย่างที่เปลี่ยนแปลง
ΔV_o	= ปริมาณของตัวอย่างที่เปลี่ยนแปลง
Δe	= Change of Void Ratio
Δu	= แรงดันน้ำในโพรงเพิ่ม
$\Delta \sigma$	= Change of effective stress
$\Delta \sigma_1$	= การเพิ่มขึ้นของหน่วยแรงหลัก
σ_B	= Back pressure
σ_{1f}	= หน่วยแรงดึงหลักสุดท้าย
σ_n	= หน่วยแรงรวม
σ_v	= หน่วยแรงรวมที่กระทำในแนวคิ่ง
σ_{vo}	= หน่วยแรงรวมในแนวคิ่งตามธรรมชาติ
σ_h	= หน่วยแรงที่กระทำในแนวราบทนานกับ Slope
μ	= ค่าปรับแก้กำลังรับแรงเฉือน
η	= แฟคเตอร์สำหรับพิเศษทางการระบายน้ำ
θ	= มุมระหว่างระนาบกรดับติดกับระนาบราบธรรมชาติ
ϕ	= มุมต้านทานหน่วยแรงเฉือน
γ	= ความหนาแน่นของดิน
γ_T	= หน่วยน้ำหนักของมวลดิน
γ_w	= Unit weight of water
τ	= หน่วยแรงเฉือนที่เกิดขึ้น
τ_c	= Shear resistace along active Portion
τ_d	= Shear resistace along Passive Portion
τ_s	= Shear resistace along Horive Portion
$U\%$	= ค่าเฉลี่ยของการกระจายแรงดันน้ำในโพรงดิน
A	= ระยะตัดแกนคิ่ง
σ_{hc}	= หน่วยแรงในแนวราบสำหรับอัคตัวคายนำ

σ_{ho}	=	หน่วยแรงในแนวราบ จากการทับถมของน้ำหนัก
σ_{vc}	=	หน่วยแรงประสิทธิผลในแนวคิ่งสำหรับการอัดตัวคายน้ำ
σ_{vm}	=	หน่วยแรงสูงสุดในอคีต
σ_{vo}	=	หน่วยแรงประสิทธิผลในทางคิ่งเนื่องจากน้ำหนักดินทับถม
ϕ_r	=	Residual friction angle
2h	=	ความสูงของตัวอย่าง
รทก.	=	ระดับน้ำทะเลปานกลาง

ศูนย์วิทยทรัพยากร
จุฬาลงกรณ์มหาวิทยาลัย